

# یک نسخه دودویی از الگوریتم پیچک برای حل مسائل کوله پشتی صفر-یک

سعیده محمدزاده<sup>1</sup>، دانشجوی کارشناسی ارشد، عین الله پیرا<sup>2\*</sup>، دانشیار، علیرضا روحی<sup>3</sup>، دانشیار، سجاد اسفندیاری<sup>4</sup>، استادیار

<sup>1</sup> دانشکده فناوری اطلاعات و مهندسی کامپیوتر- دانشگاه شهید مدنی آذربایجان - تبریز-ایران- mohammadzadehs37@gmail.com

<sup>2,3</sup> دانشکده فناوری اطلاعات و مهندسی کامپیوتر- دانشگاه شهید مدنی آذربایجان - تبریز-ایران- {pira,rouhi}@azaruniv.ac.ir

<sup>4</sup> گروه مهندسی کامپیوتر، دانشگاه ملایر، ملایر، ایران. رایانامه: esfandyari@malayeru.ac.ir

چکیده: در این پژوهش، نسخه‌ای باینری از الگوریتم الهام گرفته از رشد پیچک (IVY) با هدف حل مسئله کوله‌پشتی صفر و یک طراحی و ارزیابی شده است. مسئله کوله‌پشتی یکی از مسائل کلاسیک بهینه‌سازی ترکیبیاتی است که در حوزه‌های مختلفی از جمله تخصیص منابع، زمان‌بندی و برنامه‌ریزی پروژه کاربرد دارد. حل این مسئله با توجه به پیچیدگی نمایی فضای جستجو، نیازمند استفاده از الگوریتم‌های مؤثر و کارآمد است. نسخه BiIVY با ترکیب مکانیزم رشد جهت‌دار، تابع جریمه و الگوریتم ترمیم ویژه، قابلیت یافتن پاسخ‌های بهینه با تعداد تکرار کمتر نسبت به الگوریتم‌های مرسوم را فراهم می‌کند. پارامترهای الگوریتم با توجه به منابع پیشین و آزمون‌های آزمایشی تعیین شده‌اند. کارایی BiIVY روی 25 مجموعه داده استاندارد L1-L25 ارزیابی شده و با الگوریتم‌های دودویی گرده‌افشانی گل (BFPA) و الگوریتم سینوسی-کسینوسی دودویی (BSCA) مقایسه گردیده است. نتایج آزمون میانگین رتبه فریدمن نشان می‌دهد که BiIVY در اکثر موارد از لحاظ کل سود و تعداد تکرار عملکرد بهتری دارد و توانسته پاسخ‌های بهینه یا نزدیک به بهینه را با تعداد تکرار کمتر ارائه دهد، که اثربخشی و توانایی الگوریتم پیشنهادی را در حل مسائل ترکیبیاتی پیچیده نشان می‌دهد.

واژه‌های کلیدی: الگوریتم پیچک، کوله‌پشتی صفر-یک، بهینه‌سازی، دودویی، الگوریتم‌های فرالبتکاری

\* نویسنده مسئول، pira@azaruniv.ac.ir

# *A binary version of the Ivy algorithm for solving zero-one knapsack problems*

Saeedeh Mohammadzadeh<sup>1</sup>, M.Sc. Student, Einollah Pira<sup>2\*</sup>, Associate Professor, Alireza Rouhi<sup>3</sup>, Associate Professor, Sajad Esfandyari<sup>4</sup>, Assistant Professor

<sup>1</sup>Faculty of Information Technology and Computer Engineering, Azarbaijan Shahid Madani University, Tabriz, Iran, mohammadzadehs37@gmail.com

<sup>2,3</sup> Faculty of Information Technology and Computer Engineering, Azarbaijan Shahid Madani University, Tabriz, Iran, {pira, rouhi}@azaruniv.ac.ir

<sup>4</sup>Department of Computer Engineering, Malayer University, Malayer, Iran. Email: esfandyari@malayeru.ac.ir

**Abstract:** In this study, a binary version of the Ivy-inspired algorithm (IVY) was designed and evaluated to solve the 0–1 Knapsack Problem. The Knapsack Problem is a classical combinatorial optimization problem with applications in resource allocation, scheduling, and project planning. Due to the exponential complexity of its search space, efficient and effective algorithms are required to solve it. The BiIVY version combines a directed growth mechanism, a penalty function, and a specialized repair algorithm, enabling it to find higher-quality solutions with fewer iterations compared to conventional algorithms. Algorithm parameters were determined based on previous studies and experimental trials. The performance of BiIVY was evaluated on 25 standard datasets (L1–L25) and compared with Binary Flower Pollination Algorithm (BFPA) and Binary Sine-Cosine Algorithm (BSCA). Friedman mean-rank test results indicate that BiIVY generally outperforms the other algorithms in terms of total profit and iteration count, providing optimal or near-optimal solutions with fewer iterations, which demonstrates the effectiveness and capability of the proposed algorithm in solving complex combinatorial problems.

**Keywords:** *Ivy algorithm, knapsack 0-1, optimization, binary, metaheuristic algorithms.*

\* corresponding author, pira@azaruniv.ac.ir

## 1. مقدمه

پیچیدگی را داشته باشند، بیش از پیش احساس می‌شود. در نتیجه، حوزه طراحی و توسعه الگوریتم‌های فراابتکاری به‌طور مداوم در حال تحول و گسترش بوده و به‌طور مستمر شاهد معرفی الگوریتم‌های جدید در این زمینه هستیم. بخش قابل توجهی از این مسائل، در دسته مسائل NP-hard قرار می‌گیرند؛ مسائلی که حل دقیق آن‌ها در زمان چندجمله‌ای امکان‌پذیر نیست. به بیان ساده، این مسائل از فضای جستجوی بسیار بزرگی برخوردارند و به همین دلیل، روش‌های کلاسیک بهینه‌سازی نظیر برنامه‌ریزی خطی، الگوریتم گرادیان کاهشی، روش‌های شبه‌نیوتن و سایر رویکردهای قطعی، در دستیابی به پاسخ‌های بهینه برای این مسائل ناتوان‌اند. در مقابل، الگوریتم‌های فراابتکاری و بهینه‌سازی تصادفی با تکیه بر جستجوی هوشمندانه در فضای مسأله، تلاش می‌کنند تا به راه‌حلی نزدیک به مقدار بهینه دست یابند [4]. اگرچه این الگوریتم‌ها تضمینی برای یافتن پاسخ دقیق ارائه نمی‌دهند، اما در عمل، توانسته‌اند در حل بسیاری از مسائل پیچیده عملکرد قابل قبولی از خود نشان دهند و به عنوان جایگزینی مناسب برای روش‌های سنتی مطرح شوند. می‌توانیم الگوریتم‌های فراابتکاری را به چهار دسته تقسیم کنیم: الگوریتم‌های هوش جمعی (SI) [5]، الگوریتم‌های تکاملی (EA) [6]، الگوریتم‌های مبتنی بر فیزیک (PhAs) [7] و الگوریتم‌های مبتنی بر آسان [8]. الگوریتم‌های فراابتکاری عموماً در ساختار خود از دو مؤلفه‌ی اصلی بهره می‌برند: اکتشاف<sup>۲</sup> برای جستجو در نواحی جدید فضای مسئله و بهره‌برداری<sup>۳</sup> برای بهبود پاسخ‌های به‌دست‌آمده. برقراری تعادل میان این دو فرآیند، نقشی کلیدی در عملکرد موفق الگوریتم ایفا می‌کند. در این مطالعه، به‌منظور تضمین تنوع در فضای جستجو و همزمان تقویت بهره‌برداری، از عملگرهای ترکیب<sup>۴</sup> و جهش<sup>۵</sup> استفاده

بهینه‌سازی، فرایندی است که در آن بهترین جواب (با توجه به مجموعه‌ای از معیارها) از میان مجموعه‌ای از جواب‌های ممکن برای یک مسأله‌ی خاص انتخاب می‌شود [1]. بنابراین، بهینه‌سازی کار ساده‌ای نیست و از نظر محاسباتی غالباً نیازمند کاوش در فضای جستجوی گسترده‌ای است تا بتوان بهترین راه‌حل را یافت که تمامی محدودیت‌ها و مشخصات مورد نظر را برآورده کند [2]. طراحی یک الگوریتم اختصاصی برای حل هر مسأله بهینه‌سازی نیز چالشی جدی به شمار می‌آید. به همین دلیل، دانشمندان و مهندسان از الگوریتم‌های فراابتکاری استفاده می‌کنند که قادرند در مدت زمان معقولی، راه‌حلی بهینه ارائه دهند. این راه‌حل ممکن است بهترین گزینه در کل فضای جستجو نباشد، اما معمولاً به اندازه‌ای مناسب است که بتواند نیازها را بدون صرف بیش از حد منابع محاسباتی یا زمان، برآورده سازد.

با پیشرفت علوم و فناوری، مسائل بهینه‌سازی متنوع‌تری پدیدار شده‌اند که اغلب دارای ویژگی‌هایی همچون غیرخطی بودن، چندوجهی بودن و ناپیوستگی در تابع هدف یا قيود هستند. این ویژگی‌ها موجب پیچیدگی بیشتر در فرایند حل این مسائل شده و ضرورت استفاده از روش‌های هوشمند و کارآمد را دوچندان می‌سازد [3].

در سال‌های اخیر، الگوریتم‌های فراابتکاری<sup>۱</sup> به‌عنوان رویکردهایی کارآمد جهت حل مسائل پیچیده، غیرخطی و با ابعاد بالا، مورد توجه بسیاری از پژوهشگران قرار گرفته‌اند. با توجه به پیچیدگی ذاتی بسیاری از مسائل دنیای واقعی و پویایی محیط‌های مسأله، نیاز به روش‌هایی که توانایی مقابله با این

<sup>4</sup> Crossover

<sup>5</sup> Mutation

<sup>1</sup> Meta-heuristic Algorithms

<sup>2</sup> Exploration

<sup>3</sup> Exploitation

از جمله تصمیم‌گیری‌های سرمایه‌گذاری، بودجه‌بندی اصلی، بهینه‌سازی نگهداری املاک، مشکلات بارگیری محموله، تخصیص منابع، حافظه کامپیوتر و مسأله مسکن [12].

با توجه به محدودیت‌های الگوریتم‌های دقیق در مواجهه با مسائل با ابعاد بزرگ، استفاده از الگوریتم‌های فراابتکاری رویکردی مؤثر برای دستیابی به پاسخ‌های مناسب در زمان معقول است [13]. پژوهش حاضر بر آن است تا با بهره‌گیری از الگوریتم پیچک، نسخه‌ای باینری از آن را طراحی و پیاده‌سازی نماید، که قادر به حل مؤثر مسأله کوله‌پشتی 0-1 باشد. اهداف تحقیق شامل طراحی و توسعه نسخه باینری الگوریتم پیچک، بررسی مفاهیم نظری الگوریتم و تحلیل عملکرد آن در مسائل پیوسته، و توسعه روش باینری‌سازی الگوریتم با استفاده از توابع نگاشت مناسب برای انطباق با فضای گسسته است [10]. الگوریتم پیچک به دلیل توانایی بالای آن در اکتشاف و بهره‌برداری در مسائل بهینه‌سازی ترکیباتی و انعطاف‌پذیری برای تبدیل به نسخه باینری، به‌عنوان الگوریتم مناسب برای حل مسأله کوله‌پشتی 0-1 انتخاب شد. نسخه BiIVY با بهره‌گیری از تابع جریمه و مکانیزم رشد جهت‌دار، قادر است پاسخ‌های با کیفیت بالاتر و تعداد تکرار کمتر نسبت به الگوریتم‌های فراابتکاری موجود ارائه دهد. نوآوری اصلی این پژوهش در طراحی نسخه باینری الگوریتم پیچک و بهبود مکانیزم رشد جهت‌دار و تابع جریمه برای مسائل گسسته است، که این نسخه توانایی ارائه پاسخ‌های بهینه‌تر با تعداد تکرار کمتر را دارا می‌باشد. از آنجا که بسیاری از روش‌های فراابتکاری برای حل مسأله کوله‌پشتی با ضعف‌هایی مانند همگرایی زودرس و عدم تعادل مناسب میان اکتشاف و بهره‌برداری مواجه‌اند، توسعه الگوریتم‌های کارآمدتر ضرورت دارد. الگوریتم پیچک با وجود عملکرد مناسب در نسخه پیوسته، فاقد نسخه باینری برای مسائل گسسته بوده است.

گردید. این عملگرها پیش‌تر در تحقیقات متعددی برای تولید راه‌حل‌های کاندید و ارتقای کیفیت جستجو به‌کار رفته‌اند [9]. الگوریتم پیچک IVYA نوعی الگوریتم الهام‌گرفته از زیست است که برگرفته از الگوهای رشد گیاهان پیچک می‌باشد [10]. رشد هماهنگ و منظم جمعیت و گسترش و تکامل گیاهان پیچک را شبیه‌سازی می‌کند. الگوریتم IVYA یک روش بهینه‌سازی مبتنی بر جمعیت است که از طریق یک فرآیند تکراری عمل می‌کند و از توانایی جستجوی جمعی اعضای جمعیت بهره می‌برد. جمعیت در الگوریتم IVYA از افرادی تشکیل شده است که شبیه به جامعه گیاهان پیچک عمل می‌کنند. موقعیت هر عضو در فضای جستجو، مقادیر بالقوه‌ای برای متغیرهای تصمیم مسأله ارائه می‌دهد. به‌طور ریاضی، هر عضو جمعیت (که یک گیاه پیچک است) به‌عنوان یک بردار نمایش داده می‌شود و به‌عنوان یک راه‌حل بالقوه برای مسأله عمل می‌کند. نرخ رشد گیاهان پیچک با استفاده از یک معادله دیفرانسیل و یک فرآیند داده‌محور مدل‌سازی شده و جهت رشد با توجه به نزدیک‌ترین و قوی‌ترین همسایه تعیین می‌شود. ویژگی‌های منحصر به فرد الگوریتم IVYA مانند حفظ تنوع جمعیت، سادگی و انعطاف‌پذیری آن، امکان تغییر و گسترش آسان را فراهم می‌کند [10].

روش‌های گوناگونی برای حل مسأله کوله‌پشتی به کار گرفته می‌شوند که به دو دسته الگوریتم‌های دقیق و فراابتکاری تقسیم می‌شوند. الگوریتم‌های دقیق، مانند برنامه‌نویسی پویا<sup>6</sup> و شاخه و کران<sup>7</sup> (B&B)، قادر به ارائه راه‌حل‌های دقیق هستند و در بدترین حالت، با افزایش نمایی زمان محاسبه، اندازه مسأله نیز افزایش می‌یابد. از سوی دیگر، الگوریتم‌های فراابتکاری می‌توانند در زمان‌های معقول، راه‌حل‌های تقریبی ارائه دهند [11]. مسائل تصمیم‌گیری کوله‌پشتی 0-1 در بسیاری از حوزه‌ها کاربرد دارند،

<sup>7</sup> Branch-And-Bound

<sup>6</sup> Dynamic Programming

این مساله یکی از مسائل کلاسیک و بنیادی در زمینه بهینه‌سازی ترکیباتی محسوب می‌شود که کاربردهای فراوانی در علوم رایانه، اقتصاد، مهندسی صنایع و سیستم‌های تصمیم‌یار دارد. این مساله در رده مسائل NP-Complete قرار می‌گیرد و یافتن راه‌حل دقیق آن در مقیاس‌های بزرگ به‌طور معمول نیازمند زمان محاسباتی بالا و منابع زیاد است. همین امر باعث شده تا این مساله به عنوان یک معیار استاندارد برای ارزیابی و آزمون الگوریتم‌های فراابتکاری مختلف مورد استفاده قرار گیرد [15].

در این مساله، فرض می‌شود مجموعه‌ای از اقلام وجود دارد که هرکدام دارای دو ویژگی هستند: وزن و سود (یا ارزش). هدف، انتخاب ترکیبی از این اقلام است به‌گونه‌ای که جمع وزن‌های انتخاب‌شده از یک حد مشخص (ظرفیت کوله‌پشتی) بیشتر نباشد و در عین حال مجموع ارزش‌های آن‌ها حداکثر شود. در نسخه صفر-یک این مساله، هر قلم کالا یا کامل انتخاب می‌شود (مقدار 1) یا اصلاً انتخاب نمی‌شود (مقدار 0) و نمی‌توان بخشی از یک آیتم را انتخاب کرد.

این مساله بصورت ریاضی بصورت زیر تعریف می‌شود: این مساله مجموعه‌ای از  $n$  آیتم است و هر آیتم دارای وزن  $w_i$  و سود  $p_i$  و حداکثر ظرفیت وزن  $W$  است که در آن  $x_i$  یک متغیر باینری برای انتخاب این مورد ( $x_i = 1$ ) یا عدم انتخاب ( $x_i = 0$ ) است. هدف، به حداکثر رساندن سود اقلام موجود در کوله پشتی است به طوری که وزن کلی کمتر یا برابر با ظرفیت کوله پشتی باشد. در حالت کلی، خواهیم داشت:

- Maximize  $\sum_{i=1}^n p_i x_i$
- Where:  $\sum_{i=1}^n w_i x_i \leq W$   $x_i \in \{0, 1\}$

### 3.2 الگوریتم پیچک

نوآوری این پژوهش در ارائه نسخه باینری الگوریتم پیچک و بهبود مکانیزم رشد جهت‌دار و تابع جریمه برای ارتقای کیفیت پاسخ‌ها و سرعت همگرایی است.

## 2. ادبیات پژوهش

در این بخش، ابتدا مسایل بهینه‌سازی و کوله‌پشتی صفر-یک مورد بررسی واقع می‌شوند، سپس مرور کوتاهی بر الگوریتم پیچک خواهیم داشت. انتهای این بخش نیز به پیشینه پژوهش تعلق دارد.

### 1.2 مسائل بهینه‌سازی

مسائل بهینه‌سازی در علوم رایانه، مهندسی و ریاضیات به مسائلی اطلاق می‌شود که در آن‌ها هدف یافتن بهترین جواب از بین مجموعه‌ای از جواب‌های ممکن است. این بهترین جواب بر اساس بیشینه یا کمینه کردن یک تابع هدف<sup>8</sup> تعیین می‌شود. اگر متغیرهای تصمیم گسسته یا دودویی باشند، مساله بهینه‌سازی به شکل گسسته<sup>9</sup> خواهد بود [14].

ساختار کلی مساله بهینه‌سازی به شکل زیر است:

$$f(x) \quad \text{تابع بهینه‌سازی}$$

$$g_i(x) \leq 0 \quad i = 1, 2, \dots, m \quad \text{محدود به:}$$

$$h_j(x) = 0 \quad j = 1, 2, \dots, p$$

$$x \in D$$

در این مقاله، هدف حل یک مساله بهینه‌سازی گسسته تک‌هدفه با محدودیت است، یعنی انتخاب زیرمجموعه‌ای از آیتم‌ها از میان مجموعه موجود، به‌گونه‌ای که مجموع سود بیشینه و مجموع وزن از ظرفیت مجاز کمتر یا مساوی باشد. به این نوع مسائل، بهینه‌سازی ترکیبی<sup>10</sup> گفته می‌شود.

### 2.2 مساله کوله‌پشتی صفر-یک

<sup>10</sup> Combinatorial Optimization

<sup>8</sup> Objective Function

<sup>9</sup> Discrete Optimization

رشد که سرعت رشد را کنترل می کند،  $\varphi(Gv(t))$  تابع اصلاحی که میزان انحراف از رشد طبیعی را کنترل می کند.

و به صورت گسسته با رابطه زیر به روزرسانی می شود:

$$\Delta Gv_i(t) (t + 1) = rand^2 \odot (N(1, D) \odot \Delta Gv_i(t) (t)) \quad (3)$$

که در آن بردارهای  $\Delta Gv_i(t)$  و  $\Delta Gv_i(t + 1)$  نرخ رشد را در یک سیستم زمان گسسته (در لحظه های زمانی  $t$  و  $t + 1$ ) نشان می دهند،  $rand$  یک عدد واقعی و یکنواخت از بازه  $[0, 1]$  است.  $N(1, D)$  توزیع نرمال با میانگین 1 و واریانس  $D$  و  $\odot$  ضرب مؤلفه ای بین بردارها است.

### فاز 2: رشد جهت دار به سمت نور

هر پیچک از نزدیک ترین همسایه قوی تر پیروی می کند. موقعیت جدید بر اساس رابطه زیر محاسبه می شود:

$$I_i^{new} = I_i + |N(1, D)| \odot (I_{ii} - I_i) + N(1, D) \odot \Delta Gv_i \quad (4)$$

که در آن  $I_i^{new}$  موقعیت جدید عضو  $i$  در فضای جستجو را نشان می دهد.  $I_i$  موقعیت فعلی عضو  $i$  است و  $I_{ii}$  موقعیت نزدیک ترین همسایه قوی تر آن عضو را مشخص می کند. بخش  $|N(1, D)| \odot (I_{ii} - I_i)$  مسئول جهت گیری رشد پیچک به سمت نور (همسایه قوی تر) است و  $N(1, D) \odot \Delta Gv_i$  بخش تصادفی و متغیر برای حفظ تنوع و اکتشاف در فضای جستجو ایجاد می کند. توضیح این نمادها شفافیت مدل و قابلیت تکرار الگوریتم را تضمین می کند.

### فاز 3: گسترش و تکامل

پس از یافتن بهترین عضو، سایر اعضا در اطراف آن جستجو می کنند:

$$I_i^{new} = I_{Best} \odot (rand(1, D) + N(1, D) \odot \Delta Gv_i) \quad (5)$$

در این رابطه، موقعیت جدید عضو  $i$  بر اساس تأثیر بهترین عضو جمعیت و تغییرات رشد پیچک محاسبه می شود. ابتدا  $I_{Best}$  که نشان دهنده موقعیت بهترین عضو در نسل فعلی است، به عنوان الگوی اصلی رشد در نظر گرفته می شود. حاصل ضرب سطر  $N(1, D) \odot \Delta Gv_i$  نشان دهنده میزان اثرگذاری تغییرات

الگوریتم پیچک (IVYA) یک روش فراابتکاری مبتنی بر جمعیت است که از الگوهای رشد گیاه پیچک الهام گرفته شده است. در این الگوریتم، هر عضو جمعیت به صورت یک بردار در فضای جستجو نمایش داده می شود و نمایانگر یک راه حل بالقوه است. این الگوریتم مراحل مختلف زندگی گیاه پیچک مانند رشد، بالا رفتن و گسترش را در قالب یک دسته از گیاهان پیچک (جمعیت) شبیه سازی می کند [10]. ساختار کلی IVYA به صورت زیر است:

- ایجاد جمعیت اولیه ای از پیچک ها به عنوان راه حل های اولیه مسأله؛
- مراحل جستجو و رشد جمعیت در الگوریتم پیشنهادی IVYA شامل:
  - رشد هماهنگ و مرتب جمعیت؛
  - رشد به سمت منبع نور خورشید برای بهینه سازی موقعیت؛
  - گسترش و تکامل گیاهان پیچک؛
  - انتخاب بازماندگان برای ادامه نسل بعدی.

در ابتدا، جمعیت اولیه به صورت تصادفی ایجاد می شود. موقعیت اعضا با رابطه زیر تعیین می گردد:

$$I_i = I_{min} + rand(1, D) \odot (I_{max} - I_{min}) \quad (1)$$

که در آن،  $I_{min}$  و  $I_{max}$  به ترتیب حد پایین و بالای فضای جستجو و  $\odot$  عملگر ضرب هادامارد است.  $rand(1, D)$  یک بردار تصادفی با طول  $D$  است که هر مؤلفه آن عددی واقعی و یکنواخت از بازه  $[0, 1]$  است.

### فاز 1: رشد هماهنگ و منظمی

این مرحله مشابه رشد ابتدایی پیچک روی زمین است. نرخ رشد هر عضو با یک معادله دیفرانسیل توصیف می شود:

$$\frac{dGv(t)}{dt} = \psi \cdot Gv(t) \cdot \varphi(Gv(t)) \quad (2)$$

در این جا  $Gv(t)$  نرخ رشد پیچک در لحظه  $t$ ،  $\psi$  ضریب

ماشین و هوش مصنوعی ایفا می‌کنند. تلاش برای توسعه الگوریتم‌های فراابتکاری برای این مسائل همچنان ادامه دارد و پایان‌ناپذیر است.

الگوریتم ژنتیک GA نخستین بار توسط هالند توسعه یافت و شبیه سازی انتخاب طبیعی موجودات زنده را انجام می‌دهد. این الگوریتم از دو عملگر اصلی شامل ترکیب و جهش برای حل مسائل بهینه‌سازی استفاده می‌کند. با این حال، الگوریتم ژنتیک با مشکل همگرایی زود هنگام مواجه است، که باعث می‌شود جمعیت به راه‌حل‌های زیر بهینه محدود شود. همچنین، افزایش اندازه جمعیت برای حفظ تنوع می‌تواند زمان محاسبات را افزایش دهد گوپتا [16] یک نسخه سریع‌تر از الگوریتم ژنتیک پیشنهاد داد که یک تابع جدید اضافه می‌کند. این تابع پس از هر فرآیند جهش، جمعیت را بررسی کرده و تمامی راه‌حل‌های غیرممکن را با نمونه‌های تصادفی جدید جایگزین می‌کند.

الگوریتم بهینه‌سازی ازدحام ذرات PSO [17] برای حل مسائل بهینه‌سازی پیوسته طراحی شده است. نسخه‌ای دودویی از این الگوریتم به نام BPSO [18] با استفاده از روش سیگموئید، فضای جستجو را به صورت گسسته در می‌آورد. با این حال، در صورت افزایش مقادیر سرعت، تغییر در احتمال‌ها کاهش می‌یابد که باعث محدود شدن جستجو می‌شود. برای رفع این مشکل، نسخه اصلاح‌شده‌ای به نام MBPSO [19] ارائه شده است که از یک تابع احتمال جدید استفاده می‌کند تا میزان جستجوی فضای جستجو را افزایش دهد. نتایج تجربی نشان می‌دهد که MBPSO عملکرد بهتری نسبت به BPSO دارد. نگوین و همکاران [20] نسخه‌ای دودویی از PSO را معرفی کردند که شامل دو عملگر جدید برای مدیریت محدودیت‌ها بود: عامل جریمه  $\nu$  و تابع

رشد بر هر بعد است. در نهایت، جمع این دو مؤلفه تصادفی در  $I_{Best}$  ضرب می‌شود تا موقعیت جدید  $I_i^{new}$  شکل گیرد. این فرمول باعث می‌شود حرکت عضو  $I$  هم جهت‌دار باشد (به سمت بهترین عضو) و هم شامل مقدار مناسبی از تنوع، تا الگوریتم بتواند اکتشاف و بهره‌برداری را همزمان حفظ کند.

نرخ رشد نیز مطابق رابطه زیر به‌روزرسانی می‌شود:

$$\Delta Gv_i^{new} = I_i^{new} \odot (I_{max} - I_{min}) \quad (6)$$

در الگوریتم DVYA فرآیند انتخاب بازماندگان برای حفظ بهترین اعضای جمعیت انجام می‌شود. هر عضو  $I_i$  بر اساس مقدار تابع هدف  $f(I_i)$  با بهترین عضو جمعیت  $f(I_{Best})$  مقایسه می‌گردد. یک ضریب دینامیک تصادفی به صورت زیر تعریف می‌شود:

$$\beta = \frac{2 + rand}{2} \quad (7)$$

اگر  $f(I_{Best}) \cdot \beta > f(I_i)$ ، عضو وارد مرحله گسترش عرضی شده و در غیر این صورت به مرحله رشد صعودی هدایت می‌شود. سپس جمعیت جدید با قبلی ادغام و مرتب شده و در نهایت بهترین  $N$  عضو به نسل بعدی منتقل می‌گردند:

$$\vec{I} = \{I_1^{Merged}, I_2^{Merged}, \dots, I_N^{Merged}\} \quad (8)$$

هر مؤلفه  $I_1^{Merged}$  نمایانگر موقعیت اصلاح‌شده‌ی یک پیچک در فضای جستجو است و ترکیبی از موقعیت‌های قبلی و تغییرات ناشی از مکانیزم‌های الگوریتم محسوب می‌شود. این بردار در نهایت برای ارزیابی کیفیت راه‌حل‌ها و انتخاب بهترین عضو جمعیت استفاده می‌شود.

## 4.2. پیشینه پژوهش

در سال‌های اخیر، بسیاری از الگوریتم‌های فراابتکاری (به‌ویژه الگوریتم‌های مبتنی بر ازدحام) برای حل مسائل بهینه‌سازی ترکیبی مورد استفاده قرار گرفته‌اند. مسائل بهینه‌سازی ترکیبی نقش بسیار مهمی در حوزه‌هایی مانند مهندسی نرم‌افزار، یادگیری

الگوریتم حریر صانه برای تبدیل راه حل های غیر قابل قبول به راه حل های قابل قبول استفاده می شود که سرعت الگوریتم را در دستیابی به بهترین راه حل ها بالا می برد. مقایسه ها نشان می دهد که CGMA در مقایسه با دیگر الگوریتم های فراابتکاری نتایج موثری ارائه می دهد.

الگوریتم بهینه سازی پروانه سلطنتی<sup>۱۶</sup> MBO [26] یک الگوریتم فراابتکاری الهام گرفته از طبیعت است که مهاجرت پروانه های سلطنتی را شبیه سازی می کند و برای مسائل پیوسته به کار می رود. الگوریتم MBO با استراتژی حریر صانه و ترکیب خود تطبیقی GCMBO [27] به منظور رفع کاستی های MBO با اضافه کردن ترکیب و استراتژی حریر صانه طراحی شد. نتایج اولیه نشان دهنده عملکرد بهتر GCMBO نسبت به MBO است. فنگ و همکاران [28] با ادغام MBO و فرایند جهش گوسی برای حل مشکل همگرایی و استفاده از نگاشت های آشوبی برای مقابله با مسائل بهینه سازی ترکیبی COPS توانستند مسائل کوله پشتی 0-1 را بهبود دهند. در پژوهش دیگری، فنگ و همکاران [29] یک نسخه دودویی جدید از MBO به نام BMBO را برای حل مسئله کوله پشتی 0-1 معرفی کردند که از روش حریر صانه و یک عملگر تعمیر بهره می برد.

الگوریتم گرده افشانی گل ها<sup>۱۷</sup> [11] برای حل مسئله کوله پشتی 0-1 به نسخه ای دودویی BFPA تبدیل شده است. در این نسخه، از یک تابع جریمه برای حذف راه حل های غیر مجاز که خارج از ناحیه راه حل های مجاز قرار دارند، استفاده می شود. این تابع به راه حل های غیر مجاز یک مقدار منفی اختصاص می دهد تا از آنها صرف نظر شود. علاوه بر این، برای مقابله با مسئله کوله پشتی چند بعدی، لای و همکاران [30] یک الگوریتم

تعمیر<sup>۱۳</sup>. این عملگرها بر اساس استراتژی حریر صانه و انتخاب تصادفی عناصر مسئله طراحی شده اند و کارایی الگوریتم را در حل مسائل بهبود می بخشند.

الگوریتم شب تاب<sup>۱۴</sup> FA [21] توسط یانگ برای حل مسائل بهینه سازی چندوجهی طراحی شده است و در مقایسه با PSO نتایج بهتری ارائه می دهد. الگوریتم ترکیبی شب تاب الهام گرفته از محاسبات کوانتومی PSO [22] با ترکیب FA و PSO مزایای هر دو الگوریتم را به کار می گیرد. که از مفهوم محاسبات کوانتومی برای جلوگیری از همگرایی زود هنگام در FA استفاده می کند و همچنین یک عملگر تعمیر برای رفع نواقص احتمالی دارد. فنگ و وانگ [23] نسخه بهبود یافته ای از FA به نام IFA ارائه کردند که از یک استراتژی حریر صانه برای حل مسائل کوله پشتی تصادفی با شرایط متغیر در زمان استفاده می کند. IFA عملکرد بهتری نسبت به الگوریتم ژنتیک GA نشان می دهد، اما موفقیت IFA تحت تاثیر مقادیر پارامترهایش است و به همین دلیل، ارزیابی های زیادی برای تعیین مقادیر بهینه پارامترها انجام می شود.

الگوریتم میمون<sup>۱۵</sup> MA [24] با شبیه سازی رفتار میمون ها در کوهنوردی برای حل مسائل بهینه سازی پیوسته جهانی به کار می رود. این الگوریتم به دلیل پیاده سازی آسان، پارامترهای کم و نرخ همگرایی سریع در مواجهه با مسائل پیچیده (غیرخطی بودن، ابعاد بالا و غیر قابل مشتق بودن) از کارایی بالایی برخوردار است. نسخه ای دودویی از این الگوریتم که فرایند همکاری و استراتژی حریر صانه را ترکیب می کند CGMA [25]، با ادغام دو فرایند چرخش و همکاری، به ترتیب، نرخ جستجو و همگرایی جمعیت را افزایش می دهد. این الگوریتم با باز تنظیم جمعیت، از افتادن در بهینه های محلی جلوگیری می کند. علاوه بر این، از

<sup>16</sup> monarch butterfly optimization

<sup>17</sup> Flower Pollination Algorithm

<sup>13</sup> Repair Function

<sup>14</sup> Firefly Algorithm

<sup>15</sup> Monkey Algorithm

کوله پستی 0-1 اتخاذ شده است. به دلیل ماهیت باینری مشکل کوله پستی 0-1، SCA با استفاده از یک تابع نگاشت دستکاری می شود [33].

### 3. الگوریتم ارائه شده

نسخه استاندارد الگوریتم پیچک (IVY) برای حل مسائل پیوسته طراحی شده است در حالیکه، مسأله کوله پستی یک مسأله گسسته محسوب می شود، زیرا تصمیم گیری در این مسأله بر اساس انتخاب یا عدم انتخاب یک آیتم برای قرارگیری در کوله پستی انجام می گیرد. نسخه پیشنهادی BiIVY شامل چند تفاوت اساسی با نسخه اولیه IVYA است تا بتواند در فضای باینری مسأله کوله پستی عملکرد مؤثرتری داشته باشد. نخست، یک تابع انتقال برای تبدیل موقعیت های پیوسته IVYA به مقادیر باینری تعریف شد. دوم، سازوکار رشد جهت دار به گونه ای اصلاح گردید که انتخاب همسایه قوی تر در فضای گسسته معنا پیدا کند. سوم، یک تابع جریمه پویا برای جلوگیری از تولید راه حل های نامعتبر (وزن بیش از ظرفیت) به الگوریتم افزوده شد. این تغییرات موجب شده نسخه BiIVY در مسائل گسسته دقت بالاتر و همگرایی پایدارتر نسبت به نسخه اصلی داشته باشد.

برای سازگار کردن IVY با مسأله کوله پستی، از تابع سیگموئید استفاده می شود. این تابع مقادیر حقیقی تولید شده توسط نسخه استاندارد IVY را به مقادیر صفر و یک تبدیل می کند؛ به گونه ای که مقدار یک نشان دهنده انتخاب آیتم برای قرار گرفتن در کوله پستی و مقدار صفر نشان دهنده عدم انتخاب آن آیتم است.

#### 3.1. تابع جریمه ظرفیت کوله پستی

تابع تناسب برای ارزیابی کیفیت هر راه حل با محاسبه مجموع سود اقلام انتخاب شده در کوله پستی به کار می رود، اما ممکن است

بهینه سازی ازدحام ذرات کوانتومی<sup>18</sup> QPSO جدید ارائه کردند که در آن از استراتژی حفظ تنوع مبتنی بر فاصله و یک روش بهینه سازی محلی مبتنی بر تغییر متغیرهای همسایگی استفاده شده است.

بدون شک، نویسندگان متعددی الگوریتم هایی را پیشنهاد کرده اند که در حل مسائل کوله پستی 0-1 با ابعاد کم و زیاد عملکرد چشمگیری دارند. به عنوان مثال، در [12] نسخه دودویی یک الگوریتم بهینه سازی جدید به نام الگوریتم شکارچیان دریایی<sup>19</sup> MPA ارائه شده است. این الگوریتم با بررسی مجموعه ای از توابع انتقال برای تبدیل فضای جستجوی پیوسته به دودویی عمل می کند. در [31] یک نسخه بهبود یافته از الگوریتم بهینه سازی کلونی مورچه ها<sup>20</sup> ACO برای حل مسائل کوله پستی 0-1 در یک محیط فازی ارائه شده است. در این روش پیشنهادی، برای هر یک از N شی N گروه کاندید ایجاد می شود و هر مورچه از هر گروه یک مقدار کاندید را انتخاب می کند.

یک الگوریتم جدید بهینه سازی فراابتکاری مبتنی بر الهام طبیعی به نام Aquila Optimizer (AO) معرفی می شود. الگوریتم AO پیشنهادی رفتار Aquila را در طول شکار شبیه سازی می کند و اقدامات هر مرحله از شکار را نشان می دهد [32]. یک الگوریتم جدید برای مسائل بهینه سازی باینری BAO پیشنهاد شده است [13]. الگوریتم کسینوس سینوس SCA یک الگوریتم فراابتکاری اخیر است. این الگوریتم مانند سایر الگوریتم های فراابتکاری با مجموعه ای از راه حل های تصادفی شروع می شود. به طور مکرر، این راه حل ها به سمت بهترین راه حل در جمعیت با استفاده از عملگرهای سینوس و کسینوس هدایت می شوند. از الگوریتم سینوس کسینوس SCA برای حل مسائل

18 Quantum Particle Swarm Optimization Algorithm

19 Marine Predators Algorithm

20 Ant Colony Optimization

روش ابتدا نسبت سود به وزن برای تمام آیتم‌های انتخاب شده محاسبه شده و سپس اقلام بر اساس این مقدار به صورت صعودی مرتب می‌شوند. در ادامه، اگر مجموع وزن کل راه‌حل از ظرفیت مجاز فراتر رود، حذف آیتم‌ها از کمترین مقدار RO آغاز می‌شود و این فرآیند تا زمانی ادامه می‌یابد که مجموع وزن به سطح مجاز برسد. در نهایت، راه‌حل ترمیم شده به الگوریتم اصلی بازگردانده می‌شود تا فرآیند جستجو ادامه یابد. شبه‌کد الگوریتم ترمیم شکل 2 نمایش داده شده است.

#### Algorithm 2 Repair function

1. Input: infeasible solution  $I_i$
2. for  $i = 1: n$
3. Calculate  $RO = \frac{p_i}{w_i}$
4. end for
5. sort the items according to the order of RO
6. fitness = evaluate solution  $I_i$  using PF algorithm
7. while (fitness < 0)
8. Remove items with lowest RO
9. fitness = evaluate solution  $I_i$
10. end while

شکل 2- شبه‌کد الگوریتم ترمیم

### 3.3 الگوریتم بهبود

در این مرحله، پس از ترمیم اولیه و بازگشت راه‌حل به ناحیه معتبر، الگوریتم تلاش می‌کند تا کیفیت (سود) راه‌حل را با افزودن اقلام بهبود دهد. بدین منظور، اقلام با بیشترین نسبت که هنوز در کوله‌پشتی قرار ندارند، به ترتیب افزوده می‌شوند، مشروط بر اینکه با افزودن آن‌ها، محدودیت ظرفیت نقض نشود. در صورتی که پس از افزودن یک آیتم، ظرفیت کوله‌پشتی از حد مجاز فراتر رود، همان آیتم حذف شده و فرآیند متوقف می‌شود. این فرآیند در الگوریتم 3 نمایش داده شده است. مطابق با این الگوریتم، ابتدا برای هر یک از اقلام موجود در مسأله ( $i=1$  تا  $n$ )، نسبت سود به وزن آنها که با نماد RO نمایش داده می‌شود، محاسبه می‌گردد تا نشان دهد هر قلم نسبت به وزنش چه مقدار

برخی راه‌حل‌ها با وجود سود بالا محدودیت وزن  $\sum_{i=1}^n w_i x_i < W$  را نقض کنند و به‌عنوان راه‌حل‌های نامعتبر شناخته شوند. برای جلوگیری از انتخاب این راه‌حل‌ها، الگوریتم از تابع جریمه استفاده می‌کند؛ به‌گونه‌ای که به راه‌حل‌های نامعتبر مقدار تناسب منفی اختصاص داده شده و عملاً از فرآیند انتخاب حذف می‌شوند، در حالی که راه‌حل‌های معتبر بدون تغییر باقی می‌مانند. این رویکرد موجب می‌شود الگوریتم بر راه‌حل‌های بهینه و معتبر متمرکز شده و کیفیت کلی نتایج بهبود یابد. روال عملکرد تابع جریمه را می‌توان به صورت شبه‌کد در شکل 1 نمایش داد.

#### Algorithm 1 Penalty function

1. foreach Ivy  $I_i$  in the population
2. Calculate total\_weight of  $I_i$  via  $\sum_{i=1}^n w_i x_i$
3. If (total\_weight > knapsack\_capacity)
4. PF = knapsack\_capacity - total\_weight
5. else
6. PF = total\_weight
7. End if
8. End for
9. Return PF

شکل 1- شبه‌کد تابع جریمه

### 2.3 الگوریتم ترمیم

در فرآیند جستجوی الگوریتم‌های فراابتکاری مانند الگوریتم پیچک دودویی، ممکن است برخی راه‌حل‌ها محدودیت ظرفیت کوله‌پشتی را نقض کنند و به‌عنوان راه‌حل‌های نامعتبر شناخته شوند. برای بازگرداندن این راه‌حل‌ها به فضای معتبر، از الگوریتم ترمیم استفاده می‌شود. این الگوریتم با رویکردی حریصانه، اقلامی را که بیشترین سهم در نقض محدودیت دارند شناسایی و حذف می‌کند. معیار تصمیم‌گیری در این فرآیند نسبت سود به وزن هر آیتم است که به صورت  $RO = \frac{p_i}{w_i}$  محاسبه می‌شود؛ که در آن  $p_i$  سود آیتم  $i$  ام،  $w_i$  وزن آیتم  $i$  ام، آیتم‌هایی که مقدار کمتری دارند، از اولویت حذف بالاتری برخوردار هستند، به‌طوری‌که آیتم‌هایی با نسبت سود به وزن کمتر، اولویت بیشتری برای حذف دارند زیرا وزن بالاتری را به‌ازای سود کمتر ایجاد می‌کنند. در این

فراابتکاری است. تابع سیگموئید یک روش پرکاربرد در باینری سازی است، چون مقادیر نزدیک به صفر، احتمال تبدیل شدن به 1 را کم دارند. مقادیر مثبت بزرگتر، احتمال زیادی دارند که به 1 تبدیل شوند. این باعث می شود رفتار پیوسته الگوریتم حفظ شود، در حالی که در نهایت مقادیر باینری خروجی می گیریم. تابع سیگموئید که در زیر آورده شده است.

$$X_{S_i} = \frac{1}{1 + e^{-I_i}} \quad (9)$$

برای هر مقدار به دست آمده از تابع با استفاده از فرمول زیر تبدیل به صفر یا یک خواهد شد.

$$X = \begin{cases} 1 & \text{if rand} < X_{S_i} \\ 0 & \text{otherwise} \end{cases} \quad (10)$$

راه حل با مقدار حقیقی با استفاده از تابع سیگموئید نگاشت شده و سپس با استفاده از الگوریتم PF ارزیابی می شود. اگر PF مقدار منفی را برگرداند، الگوریتم FR را روی این راه حل غیرممکن اعمال می کنیم.

### 5.3. جزئیات الگوریتم ارائه شده

در این بخش، شبه کد الگوریتم BiIVY را ارائه می کنیم. همانطوریکه در الگوریتم 4 قابل مشاهده است در ابتدا، الگوریتم نیاز به تعیین چند ورودی کلیدی دارد: ابتدا اندازه ی جمعیت اولیه که با نماد  $N$  نمایش داده می شود مشخص می گردد. سپس، حداکثر تعداد تکرارها یا همان  $MaxIter$  تعیین می شود که مشخص می کند الگوریتم تا چه زمانی به جستجو در فضای پاسخ ادامه دهد. همچنین ظرفیت کوله پستی، وزن و سود هر یک از اقلام و در نهایت تابع هدف یا همان  $fobj$  که برای ارزیابی کیفیت پاسخ ها به کار می رود، به عنوان ورودی دریافت می شوند.

سودآوری دارد. سپس اقلام بر اساس این نسبت RO به ترتیب نزولی مرتب می شوند تا اقلام با بیشترین کارایی در اولویت انتخاب قرار گیرند. در ادامه، با استفاده از الگوریتم PF، میزان تناسب یا همان fitness راه حل اولیه  $I_i$  محاسبه می شود. تا زمانی که مقدار fitness مثبت باشد، اقلامی که بالاترین مقدار RO را دارند به راه حل اضافه می شوند و مجدداً fitness راه حل به روزرسانی می گردد. این روند ادامه می یابد تا زمانی که افزودن اقلام جدید باعث کاهش یا بی اثر شدن fitness شود و در نهایت، یک راه حل معتبر  $I_i$  (feasible solution) که محدودیت های مسأله را رعایت می کند، به عنوان خروجی بازگردانده می شود. این فرآیند باعث می شود راه حل نامعتبر اولیه به تدریج به یک پاسخ قابل قبول و بهینه نزدیک شود. شکل 3 شبه کد الگوریتم بهبود را نشان می دهد.

#### Algorithm 3 Improvement function

1. Input: infeasible solution  $I_i$  from the repair phase
2. for  $i=1:n$
3. Calculate  $RO = \frac{p_i}{w_i}$
4. end for
5. sort the items according to the order of RO
6. fitness = evaluate solution  $I_i$  using PF algorithm
7. while (fitness > 0)
8. Add items with highest RO
9. fitness = evaluate solution  $I_i$
10. end while
11. return feasible solution  $I_i$

شکل 3- شبه کد الگوریتم بهبود

### 4.3. تابع سیگموئید

در پیاده سازی الگوریتم BiIVY برای مسأله کوله پستی، از تابع انتقال سیگموئید برای باینری سازی موقعیت های پیوسته استفاده شده است. این تابع مقادیر پیوسته ی تولید شده توسط الگوریتم را به احتمال انتخاب (بین 0 تا 1) نگاشت کرده و با مقایسه با عدد تصادفی، تصمیم می گیرد که مقدار نهایی صفر یا یک باشد. این روش از معروف ترین روش های باینری سازی در الگوریتم های

راه حل یا فرد در جمعیت می باشد. در ادامه، مقادیر  $GV$  متناظر با هر فرد محاسبه می شود. این مقادیر برای فرآیند انتشار پیچک (*Ivy Propagation*) در مراحل بعدی مورد استفاده قرار خواهند گرفت. سپس، تناسب یا همان *Fitness* اولیه ی تمام افراد موجود در جمعیت محاسبه می شود و بهترین مقدار تناسب (*BestFitness*) و بهترین موقعیت (*BestPosition*) ثبت می گردند.

با تکمیل مقادیر اولیه، الگوریتم وارد حلقه ی اصلی می شود که از شمارشگر  $t=1$  شروع شده و تا رسیدن به  $MaxIter$  ادامه می یابد. در هر تکرار از این حلقه ی اصلی، ابتدا برای هر فرد  $i$  در جمعیت، میزان تناسب یا همان  $fit(i)$  محاسبه می شود. اگر این مقدار تناسب از *BestFitness* فعلی بهتر باشد، مقادیر *BestFitness* و *BestPosition* با مقادیر جدید به روزرسانی می شوند تا بهترین پاسخ تاکنون ذخیره گردد. سپس، الگوریتم به مرحله ی کلیدی انتشار پیچک یا *Ivy Propagation* می رسد. در این مرحله، برای هر فرد در جمعیت بررسی می شود که آیا شطر مشخص شده برقرار است یا خیر. اگر این شرایط برقرار باشد، یک راه حل جدید یا *newsol* برای این فرد تولید می شود. مقدار  $GV$  مربوط به این فرد به روزرسانی می شود. سپس مقادیر *newsol* به بازه ی  $[0,1]$  محدود می شوند تا از خروج آنها از دامنه ی معتبر جلوگیری شود. پس از آن، این مقادیر پیوسته ی *newsol* با استفاده از تابع انتقال سیگموئید به مقادیر باینری (صفر و یک) تبدیل می شوند تا با فضای گسسته ی مسأله سازگار شوند.

در صورتی که راه حل تولید شده *newsol* نامعتبر باشد (برای مثال، وزن اقلام انتخاب شده از ظرفیت کوله پشتی فراتر رود)، فرایند ترمیم و بهبود اجرا می شود تا راه حل به یک حالت معتبر و عملی بازگردانده شود. پس از این ترمیم، میزان تناسب راه حل جدید ارزیابی می شود. اگر این راه حل جدید عملکرد بهتری داشته باشد، بهترین پاسخ موجود به روزرسانی می شود.

#### Algorithm 4 BiIVY function

1. Input: Population size  $N$
2. Maximum iterations  $MaxIter$
3. Knapsack capacity, item weights, item profits
4. Objective function  $fobj$
5. Initialize:
6. Random binary population  $pos$  of size  $N \times num\_items$
7. Compute corresponding  $GV$  values
8. Evaluate fitness of initial population
9. Set  $BestFitness$ ,  $BestPosition$
10. Main Loop ( $t = 1$  to  $MaxIter$ ):
11. For each individual  $i$  in population:
12. Evaluate fitness  $fit(i)$
13. If  $pos(i)$  better than  $BestFitness$
14. Update  $BestFitness$ ,  $BestPosition$
15. Generate new population via Ivy propagation:
16. For each individual  $i$
17.  $\beta_1 = 1 + rand() * 0.5$
18. If  $fitness(i) < \beta_1 \times BestFitness$  then
19. // Normal growth
20. Update position using neighbor difference and growth velocity
21. Else
22. // Climbing behavior
23. Move towards best solution using growth velocity
24. EndIf
25. Update  $GV(i)$
26. Bound  $newsol$  to  $[0,1]$
27. Convert  $newsol$  to binary via sigmoid transfer
28. Repair and improve if solution is infeasible
29. Evaluate fitness
30. Update best solution if improved
31. Merge new population with current Sort population by fitness
32. (descending) Keep top  $N$  individuals (competitive exclusion)
33. Update convergence curve
34. End Loop
35. Return  $BestFitness$ ,  $BestPosition$ ,  $ConvergenceCurve$ ,  $ElapsedTime$

#### شکل 4- شبه کد الگوریتم BiIVY

پس از آماده سازی ورودی ها، الگوریتم مرحله ی مقادیر اولیه را آغاز می کند. در این مرحله، یک جمعیت اولیه به صورت تصادفی تولید می شود؛ این جمعیت یک ماتریس دودویی با ابعاد  $N$  در تعداد اقلام موجود در مسأله است که هر سطر نمایانگر یک

بهبود یابد. از آنجا که فضای حالت محدود بوده و زنجیره مارکوف حاصل، غیرقابل کاهش و نامتناوب است، طبق نظریه زنجیره‌های مارکوف، این فرآیند دارای توزیع مانای یکتا خواهد بود. در نتیجه، با افزایش تعداد تکرارها، احتمال بازدید از حالت متناظر با جواب بهینه سراسری افزایش یافته و در حد بی‌نهایت به 1 همگرا می‌شود. بنابراین، الگوریتم BiIVY دارای خاصیت همگرایی احتمالی به جواب بهینه سراسری بوده و با افزایش تعداد تکرارها، تضمین می‌شود که الگوریتم با احتمال یک به پاسخ بهینه سراسری دست یابد.

#### 4. نتایج

در این بخش به بررسی و تحلیل نتایج حاصل از پیاده‌سازی نسخه باینری الگوریتم پیچک برای مسأله کوله‌پشتی صفر و یک پرداخته می‌شود. هدف از این بخش ارزیابی میزان کارایی و پایداری الگوریتم ارائه‌شده در حل این نوع مسائل بوده است. بدین منظور، مجموعه‌ای شامل 25 مسأله‌ی استاندارد تحت عنوان L1 تا L25 مورد استفاده قرار گرفت که ویژگی‌های هر مسأله شامل تعداد آیتم‌ها، وزن‌ها، سود هر آیتم و ظرفیت کوله‌پشتی به صورت مشخص در اختیار قرار داشته است (جدول 1). این مجموعه از مسائل به صورت گسترده در مقالات و پژوهش‌های پیشین برای بررسی کیفیت الگوریتم‌های فراابتکاری به کار گرفته شده‌اند و دارای سطوح مختلفی از سختی هستند [11]. نتایج الگوریتم BiIVY با الگوریتم گرده افشانی گل دودویی (BFPA) و الگوریتم الگوریتم سینیوسی کسینوس (BSCA) مقایسه می‌شوند.

محیط اجرایی این الگوریتم‌ها عبارت است از: نرم افزار مطلب نسخه 2017 و ویندوز Ultimate10 نسخه 64 بیتی با CPU Intel® Core™ i5 و RAM 8GB. نتایج ارائه شده شامل معیارهای بهترین (Best)، بدترین (Worst)، میانگین (Mean) مقادیر بدست آمده است.

در ادامه، جمعیت جدید و فعلی با یکدیگر ادغام می‌شوند و تمام افراد بر اساس میزان تناسب به ترتیب نزولی مرتب می‌گردند. از بین این افراد، تنها  $N$  فرد برتر انتخاب می‌شوند تا در تکرار بعدی باقی بمانند. این فرآیند با نام حذف رقابتی یا *Competitive Exclusion* شناخته می‌شود که موجب می‌گردد بهترین افراد در جمعیت حفظ شوند. در پایان هر تکرار، مقدار شاخص همگرایی یا *Convergence Curve* نیز به روزرسانی می‌شود تا روند پیشرفت الگوریتم در طول زمان ثبت گردد.

در نهایت، پس از تکمیل همه‌ی تکرارها، الگوریتم بهترین مقدار تناسب (*BestFitness*)، موقعیت بهترین پاسخ (*BestPosition*)، منحنی همگرایی (*ConvergenceCurve*) و زمان سپری شده (*ElapsedTime*) را به عنوان خروجی باز می‌گرداند.

#### 5.3. اثبات همگرایی الگوریتم BiIVY

فضای جستجوی مسأله کوله‌پشتی صفر-یک شامل مجموعه‌ای متناهی از بردارهای باینری به طول  $n$  است؛ بنابراین، تعداد کل راه‌حل‌های ممکن برابر با  $2^n$  و محدود می‌باشد. الگوریتم BiIVY یک الگوریتم تصادفی مبتنی بر جمعیت است که در هر تکرار، مجموعه‌ای از راه‌حل‌های باینری را با استفاده از عملگرهای رشد جهت‌دار، نگاشت سیگموئید، جهش تصادفی و الگوریتم‌های ترمیم و بهبود تولید می‌کند.

فرآیند تولید جمعیت در BiIVY را می‌توان به صورت یک زنجیره مارکوف همگن در نظر گرفت که حالت‌های آن متناظر با تمام زیرمجموعه‌های ممکن فضای جستجوی باینری هستند. به دلیل وجود مؤلفه‌های تصادفی در فرآیند به‌روزرسانی موقعیت‌ها (توزیع نرمال، تابع سیگموئید و اعداد تصادفی یکنواخت)، برای هر راه‌حل باینری مجاز احتمال تولید آن در هر تکرار مقدار غیرصفری دارد. علاوه بر این، وجود مکانیزم انتخاب نخبه‌گرا (elitism) در الگوریتم تضمین می‌کند که بهترین راه‌حل یافت‌شده در هر تکرار حفظ شود و مقدار تابع هدف به صورت غیرکاهش‌ی

الگوریتم‌های مرجع انتخاب شدند. این انتخاب بر اساس سابقه موفقیت‌آمیز آن‌ها در حل مسائل کوله‌پشتی 0-1، تفاوت در سازوکار جستجو و بهره‌برداری نسبت به BiIVY و استفاده گسترده آن‌ها در مطالعات مرجع انجام شده است. بهره‌گیری از این الگوریتم‌ها امکان مقایسه دقیق عملکرد BiIVY از نظر کیفیت پاسخ‌ها و تعداد تکرارهای لازم را فراهم می‌کند و نشان می‌دهد که نسخه پیشنهادی در چه زمینه‌هایی برتری دارد. معیارهای مدنظر جهت مقایسه، شامل کل سود کسب‌شده، تعداد تکرارهای لازم جهت دستیابی به پاسخ و زمان اجرای الگوریتم می‌باشند. نتایج حاصل از این مقایسه در جدول 4 ارائه شده است. بر اساس نتایج گزارش شده، الگوریتم پیشنهادی پیچک دودویی در اکثر موارد از منظر کل سود و تعداد تکرار نسبت به دو الگوریتم دیگر عملکرد مطلوب‌تری داشته و توانسته است پاسخ‌های بهینه‌تری را با تعداد تکرار کمتری به دست آورد. این امر نشان‌دهنده توانمندی این الگوریتم در بهره‌برداری مناسب از فضای جستجو و حرکت سریع‌تر به سوی پاسخ‌های بهینه است.

برای بررسی آماری عملکرد الگوریتم‌ها، آزمون فریدمن به منظور مقایسه میان چند الگوریتم مورد استفاده قرار گرفت و در صورت نیاز، آزمون ویلکاکسون برای مقایسه جفتی اعمال شد. نتایج نشان داد که الگوریتم BiIVY در بیشتر مسائل نسبت به BFPA و BSCA عملکرد بهتری دارد. این برتری ناشی از مکانیزم رشد جهت‌دار بهبود یافته، تابع جریمه کارآمد و توازن مناسب بین اکتشاف و بهره‌برداری است که باعث می‌شود الگوریتم بتواند پاسخ‌های با کیفیت بالا را با تعداد تکرار کمتر ارائه دهد. مقدار p-value به دست آمده نشان داد که تفاوت عملکرد الگوریتم BiIVY با الگوریتم‌های BFPA و BSCA در بیشتر مسائل معنی‌دار است، به گونه‌ای که این برتری از نظر آماری تأیید شده است [34].

به منظور ارزیابی عملکرد الگوریتم پیچک دودویی برای حل مسأله کوله‌پشتی صفر-یک، این الگوریتم تحت شرایطی مشخص با تعداد جمعیت  $N$  برابر با 30 و حداکثر تکرارها برابر با 1000 اجرا شده است. برای هر یک از 25 نمونه مسأله استاندارد کوله‌پشتی (L1 تا L25)، الگوریتم 30 بار به صورت مستقل اجرا گردید و نتایج ثبت شده است. مقادیر اولیه پارامترهای الگوریتم BiIVY از مقالات پیشین اقتباس شده‌اند و به گونه‌ای انتخاب شده‌اند که عملکرد الگوریتم در مسائل کوله‌پشتی 0-1 مطابق استانداردهای گزارش‌شده در منابع معتبر باشد. این انتخاب پارامترها باعث می‌شود نتایج ارائه شده قابل مقایسه با الگوریتم‌های مشابه باشد و تاثیر پارامترها بر کیفیت پاسخ‌ها به وضوح قابل مشاهده باشد. در جدول 2، سه معیار Worst, Best و Mean به همراه تعداد تکرارهای موردنیاز برای رسیدن به جواب بهینه و همچنین زمان صرف شده برای هر نمونه مسأله آورده شده‌اند، این نتایج، کارایی و پایداری الگوریتم را در یافتن پاسخ‌های بهینه برای مسأله کوله‌پشتی نشان می‌دهند.

از آنجا که نسخه‌ی پیاده‌سازی شده از الگوریتم پیچک در این پژوهش، به صورت نسخه‌ی دودویی توسعه داده شده است، نتایج نهایی این الگوریتم نیز در قالب بردارهای دودویی به دست آمده‌اند. در این بردارها، هر مقدار 1 نشان‌دهنده‌ی انتخاب شدن آن آیت در کوله‌پشتی و هر مقدار 0 نشان‌دهنده‌ی عدم انتخاب آیت مربوطه است. در جدول 3 نتایج این بردارهای باینری برای نمونه‌های مختلف آورده شده است. این جدول نشان‌دهنده‌ی بهترین بردار باینری حاصل شده از میان 30 اجرای مستقل برای هر نمونه‌ی تستی است که بهینه‌ترین ترکیب آیت‌ها را در کوله‌پشتی مطابق با ظرفیت و سوددهی مسأله مشخص می‌کند. برای ارزیابی عملکرد نسخه باینری الگوریتم پیچک، دو الگوریتم فراابتکاری شناخته شده یعنی الگوریتم گرده‌افشانی گل دودویی BFPA و الگوریتم سینوسی-کسینوسی باینری BSCA به عنوان

جدول 1: جزئیات مسائل تست کوله پشتی صفر-یک

Instance	Dimension	Capacity	Optimal	Weights	Profits
L1	10	269	295	w = 95, 4, 60, 32, 23, 72, 80, 62, 65, 46	p = 55, 10, 47, 5, 4, 50, 8, 61, 85, 87
L2	20	878	1024	w = 92, 4, 43, 83, 84, 68, 92, 82, 6, 44, 32, 18, 56, 83, 25, 96, 70, 48, 14, 58	p = 44, 46, 90, 72, 91, 40, 75, 35, 8, 54, 78, 40, 77, 15, 61, 17, 75, 29, 75, 63
L3	4	20	35	w = 6, 5, 9, 7	p = 9, 11, 13, 15
L4	4	11	23	w = 2, 4, 6, 7	p = 6, 10, 12, 13
L5	15	375	481.0694	w = 56.358531, 80.874050, 47.987304, 89.596240, 74.660482, 85.894345, 51.353496, 1.498459, 36.445204, 16.589862, 44.569231, 0.466933, 37.788018, 57.118442, 60.716575	p = 0.125126, 19.330424, 58.500931, 35.029145, 82.284005, 17.410810, 71.050142, 30.399487, 9.140294, 14.731285, 98.852504, 11.908322, 0.891140, 53.166295, 60.176397
L6	10	60	52	w = 30, 25, 20, 18, 17, 11, 5, 2, 1, 1	p = 20, 18, 17, 15, 15, 10, 5, 3, 1, 1
L7	7	50	107	w = 31, 10, 20, 19, 4, 3, 6	p = 70, 20, 39, 37, 7, 5, 10
L8	23	10000	9767	w = 983, 982, 981, 980, 979, 978, 488, 976, 972, 486, 486, 972, 972, 485, 485, 969, 966, 483, 964, 963, 961, 958, 959	p = 981, 980, 979, 978, 977, 976, 487, 974, 970, 485, 485, 970, 970, 484, 484, 976, 974, 482, 962, 961, 959, 958, 857
L9	5	80	130	w = 15, 20, 17, 8, 31	p = 33, 24, 36, 37, 12
L10	20	879	1025	w = 84, 83, 43, 4, 44, 6, 82, 92, 25, 83, 56, 18, 58, 14, 48, 70, 96, 32, 68, 92	p = 91, 72, 90, 46, 55, 8, 35, 75, 61, 15, 77, 40, 63, 75, 29, 75, 17, 78, 40, 44
L11	30	577	1437	w = 46, 17, 35, 1, f 26, 17, 17, 48, 38, 17, 32, 21, 29, 48, 31, 8, 42, 37, 6, 9, 15, 22, 27, 14, 42, 40, 14, 31, 6, 34	p = 57, 64, 50, 6, 52, 6, 85, 60, 70, 65, 63, 96, 18, 48, 85, 50, 77, 18, 70, 92, 17, 43, 5, 23, 67, 88, 35, 3, 91, 48
L12	35	655	1689	w = 7, 4, 36, 47, 6, 33, 8, 35, 32, 3, 40, 50, 22, 18, 3, 12, 30, 31, 13, 33, 4, 48, 5, 17, 33, 26, 27, 19, 39, 15, 33, 47, 17, 41, 40	p = 35, 67, 30, 69, 40, 40, 21, 73, 82, 93, 52, 20, 61, 20, 42, 86, 43, 93, 38, 70, 59, 11, 42, 93, 6, 39, 25, 23, 36, 93, 51, 81, 36, 46, 96
L13	40	819	1821	w = 28, 23, 35, 38, 20, 29, 11, 48, 26, 14, 12, 48, 35, 36, 33, 39, 30, 26, 44, 20, 13, 15, 46, 36, 43, 19, 32, 2, 47, 24, 26, 39, 17, 32, 17, 16, 33, 22, 6, 12	p = 13, 16, 42, 69, 66, 68, 1, 13, 77, 85, 75, 95, 92, 23, 51, 79, 53, 62, 56, 74, 7, 50, 23, 34, 56, 75, 42, 51, 13, 22, 30, 45, 25, 27, 90, 59, 94, 62, 26, 11
L14	45	907	2033	w = 18, 12, 38, 12, 23, 13, 18, 46, 1, 7, 20, 43, 11, 47, 49, 19, 50, 7, 39, 29, 32, 25, 12, 8, 32, 41, 34, 24, 48, 30, 12, 35, 17, 38, 50, 14, 47, 35, 5, 13, 47, 24, 45, 39, 1	p = 98, 70, 66, 33, 2, 58, 4, 27, 20, 45, 77, 63, 32, 30, 8, 18, 73, 9, 92, 43, 8, 58, 84, 35, 78, 71, 60, 38, 40, 43, 43, 22, 50, 4, 57, 5, 88, 87, 34, 98, 96, 99, 16, 1, 25
L15	50	882	2240	w = 15, 40, 22, 28, 50, 35, 49, 5, 45, 3, 7, 32, 19, 16, 40, 16, 31, 24, 15, 42, 29, 4, 14, 9, 29, 11, 25, 37, 48, 39, 5, 47, 49, 31, 48, 17, 46, 1, 25, 8, 16, 9, 30, 33, 18, 3, 3, 3, 4, 1	p = 78, 69, 87, 59, 63, 12, 22, 4, 45, 33, 29, 50, 19, 94, 95, 60, 1, 91, 69, 8, 100, 32, 81, 47, 59, 48, 56, 18, 59, 16, 45, 54, 47, 84, 100, 98, 75, 20, 4, 19, 58, 63, 37, 64, 90, 26, 29, 13, 53, 83
L16	55	1050	2650	w = 27, 15, 46, 5, 40, 9, 36, 12, 11, 11, 49, 20, 32, 3, 12, 44, 24, 1, 24, 42, 44, 16, 12, 42, 22, 26, 10, 8, 46, 50, 20, 42, 48, 45, 43, 35, 9, 12, 22, 2, 14, 50, 16, 29, 31, 46, 20, 35, 11, 4, 32, 35, 15, 29, 16	p = 98, 74, 76, 4, 12, 27, 90, 98, 100, 35, 30, 19, 75, 72, 19, 44, 5, 66, 79, 87, 79, 44, 35, 6, 82, 11, 1, 28, 95, 68, 39, 86, 68, 61, 44, 97, 83, 2, 15, 49, 59, 30, 44, 40, 14, 96, 37, 84, 5, 43, 8, 32, 95, 86, 18
L17	60	1006	917	w = 7, 13, 47, 33, 38, 41, 3, 21, 37, 7, 32, 13, 42, 42, 23, 20, 49, 1, 20, 25, 31, 4, 8, 33, 11, 6, 3, 9, 26, 44, 39, 7, 4, 34, 25, 25, 16, 17, 46, 23, 38, 10, 5, 11, 28, 34, 47, 3, 9, 22, 17, 5, 41, 20, 33, 29, 1, 33, 16, 14	p = 81, 37, 70, 64, 97, 21, 60, 9, 55, 85, 5, 33, 71, 87, 51, 100, 43, 27, 48, 17, 16, 27, 76, 61, 97, 78, 58, 46, 29, 76, 10, 11, 74, 36, 59, 30, 72, 37, 72, 100, 9, 47, 10, 73, 92, 9, 52, 56, 69, 30, 61, 20, 66, 70, 46, 16, 43, 60, 33, 84
L18	65	1319	2817	w = 47, 27, 24, 27, 17, 17, 50, 24, 38, 34, 40, 14, 15, 36, 10, 42, 9, 48, 37, 7, 43, 47, 29, 20, 23, 36, 14, 2, 48, 50, 39, 50, 25, 7, 24, 38, 34, 44, 38, 31, 14, 17, 42, 20, 5, 44, 22, 9, 1, 33, 19, 19, 23, 26, 16, 24, 1, 9, 16, 38, 30, 36, 41, 43, 6	p = 47, 63, 81, 57, 3, 80, 28, 83, 69, 61, 39, 7, 100, 67, 23, 10, 25, 91, 22, 48, 91, 20, 45, 62, 60, 67, 27, 43, 80, 94, 47, 31, 44, 31, 28, 14, 17, 50, 9, 93, 15, 17, 72, 68, 36, 10, 1, 38, 79, 45, 10, 81, 66, 46, 54, 53, 63, 65, 20, 81, 20, 42, 24, 28, 1
L19	70	1426	3223	w = 4, 16, 16, 2, 9, 44, 33, 43, 14, 45, 11, 49, 21, 12, 41, 19, 26, 38, 42, 20, 5, 14, 40, 47, 29, 47, 30, 50, 39, 10, 26, 33, 44, 31, 50, 7, 15, 24, 7, 12, 10, 34, 17, 40, 28, 12, 35, 3, 29, 50, 19, 28, 47, 13, 42, 9, 44, 14, 43, 41, 10, 49, 13, 39, 41, 25, 46, 6, 7, 43	p = 66, 76, 71, 61, 4, 20, 34, 65, 22, 8, 99, 21, 99, 62, 25, 52, 72, 26, 12, 55, 22, 32, 98, 31, 95, 42, 2, 32, 16, 100, 46, 55, 27, 89, 11, 83, 43, 93, 53, 88, 36, 41, 60, 92, 14, 5, 41, 60, 92, 30, 55, 79, 33, 10, 45, 3, 68, 12, 20, 54, 63, 38, 61, 85, 71, 40, 58, 25, 73, 35
L20	75	1433	3614	w = 24, 45, 15, 40, 9, 37, 13, 5, 43, 35, 48, 50, 27, 46, 24, 45, 2, 7, 38, 20, 20, 31, 2, 20, 3, 35, 27, 4, 21, 22, 33, 11, 5, 24, 37, 31, 46, 13, 12, 12, 41, 36, 44, 36, 34, 22, 29, 50, 48, 17, 8, 21, 28, 2, 44, 45, 25, 11, 37, 35, 24, 9, 40, 45, 8, 47, 1, 22, 1, 12, 36, 35, 14, 17, 5	p = 2, 73, 82, 12, 49, 35, 78, 29, 83, 18, 87, 93, 20, 6, 55, 1, 83, 91, 71, 25, 59, 94, 90, 61, 80, 84, 57, 1, 26, 44, 44, 88, 7, 34, 18, 25, 73, 29, 24, 14, 23, 82, 38, 67, 94, 43, 61, 97, 37, 67, 32, 89, 30, 30, 91, 50, 21, 3, 18, 31, 97, 79, 68, 85, 43, 71, 49, 83, 44, 86, 1, 100, 28, 4, 16
L21	8	1863633	3924400	w = 12,630, 284,975, 583,838, 575,342, 780,934, 164,152, 912,739, 412,657	p = 25,424, 604,597, 1,272,766, 1,174,735, 1,707,707, 313,906, 1,689,410, 860,062
L22	12	3256963	6473019	w = 419,614, 463,634, 305,284, 918,709, 743,181, 652,957, 256,487, 790,046, 310,107, 985,008, 43,471, 629,575	p = 800,734, 843,137, 551,965, 1,921,987, 1,429,742, 1,272,555, 552,649, 1,468,914, 645,615, 1,859,603, 89,001, 1,190,478
L23	12	2489815	5170626	w = 399,907, 241,106, 271,976, 105,019, 65,202, 864,369, 458,263, 27,528, 667,143, 681,262, 982,460, 215,395	p = 744,436, 446,887, 550,596, 191,341, 142,738, 1,571,133, 868,558, 54,288, 1,425,628, 1,318,834, 2,127,868, 422,621
L24	12	3453702	6941564	w = 992,884, 417,147, 996,822, 591,627, 482,278, 651,305, 491,683, 727,443, 135,904, 152,947, 590,330, 677,035	p = 2,157,066, 853,212, 1,845,571, 1,068,849, 962,615, 1,278,897, 1,026,191, 1,377,079, 264,669, 299,959, 1,080,762, 1,263,347
L25	12	2520392	5337472	w = 187,536, 919,812, 281,447, 290,967, 293,933, 146,982, 335,995, 76,949, 296,586, 732,368, 912,094, 566,115	p = 390,564, 1,896,554, 518,776, 534,038, 539,357, 281,514, 679,085, 164,965, 603,431, 1,601,666, 1,826,086, 1,235,821

جدول 2: جواب بهینه مسائل کوله پشتی صفر-یک که توسط BiIVY بدست آمده است.

Instance	Optimal	Best	Mean	Worst	No. of iterations	Elapsed time(s)
L1	295	295	295	295	1	0.0243
L2	1024	1024	1024	1024	1	0.0123
L3	35	35	35	35	1	0.0370
L4	23	23	23	23	1	0.0100
L5	481.0694	481.0694	481.0694	481.0694	1	0.0351
L6	52	52	52	52	1	0.0622
L7	107	107	107	107	1	0.0259
L8	9767	9767	9767	9767	2	0.2744
L9	130	130	130	130	1	0.0166
L10	1025	1025	1025	1025	1	0.0139
L11	1437	1437	1437	1437	2	0.0572
L12	1689	1689	1689	1689	2	0.0429
L13	1821	1821	1821	1821	5	0.3035
L14	2033	2033	2033	2033	2	0.0390
L15	2240	2240	2240	2240	6	0.4886
L16	2650	2650	2650	2650	3	0.0948
L17	917	917	917	917	1	1.1714
L18	2817	2817	2817	2817	13	0.0164
L19	3223	3220	3219	3219.80	1000	77.5584
L20	3614	3614	3614	3614	15	0.0851
L21	3924400	3924400	3924400	3924400	1	0.0018
L22	6473019	6473019	6473019	6473019	1	0.0419
L23	5170626	5170626	5170626	5170626	1	0.0132
L24	6941564	6941564	6941564	6941564	1	0.0287
L25	5337472	5337472	5337472	5337472	1	0.0165

جدول 3: نمایش دودویی از جواب بهینه مسائل کوله پشتی صفر-یک که توسط BiIVY بدست آمده است.

Instance	Optimal	Optimal solution vector
L1	295	0111000111
L2	1024	1111111111110101011
L3	35	1101
L4	23	0101
L5	481.0694	001010110111011
L6	52	0010111111
L7	107	1001000
L8	9767	11111111001000011000000
L9	130	11110
L10	1025	1111111101111010111
L11	1437	11111011111100111011010111011
L12	1689	110111111101011111101101110111111
L13	1821	001111001111101111101011111001111111111
L14	2033	11110100111110111110111111111111010111111001
L15	2240	111100101111110110111111101011111110111111111111111
L16	2650	11110111101111011111101001111111110011011011010101111
L17	917	111101011101110111111011111111111111001011111001110111111101010
L18	2817	101110101001101100100011111111111101100100010111010011010111
L19	3223	111100111010110111011111101011110111111110110110101101111111111
L20	3614	01101111011001011111111110111111001110111111111111100111111111011011
L21	3924400	11101100
L22	6473019	100101101011
L23	5170626	011010011011
L24	6941564	110001110100
L25	5337472	010000001101

جدول 4: مقایسه بین الگوریتم‌ها در نمونه‌های مورد بررسی از مسائل کوله پشتی صفر-یک

Instance	Optimal	BiIVY			BFPA			BSCA		
		Total profit	No. of iterations	Elapsed time(s)	Total profit	No. of iterations	Elapsed time(s)	Total profit	No. of iterations	Elapsed time(s)
L1	295	295	1	0.0243	295	1	0.0172	295	1	0.0026
L2	1024	1024	1	0.0123	1024	1	0.0082	1024	110	0.0817
L3	35	35	1	0.0370	35	2	0.0148	35	1	0.0007
L4	23	23	1	0.0100	23	1	0.0058	23	1	0.0009
L5	481.0694	481.0694	1	0.0351	481.0694	1	0.0221	481.0694	1000	0.6957
L6	52	52	1	0.0622	52	1	0.0230	52	1	0.0006
L7	107	107	1	0.0259	107	1	0.0041	107	1	0.0004
L8	9767	9767	2	0.2744	9767	4	0.1050	9756	1000	0.7288
L9	130	130	1	0.0166	130	1	0.0074	130	1	0.0005
L10	1025	1025	1	0.0139	1025	1	0.0064	1025	6	0.0057
L11	1437	1437	2	0.0572	1437	1	0.0129	1422	1000	0.9166
L12	1689	1689	2	0.0429	1689	2	0.0355	1674	1000	0.9296
L13	1821	1821	5	0.3035	1821	8	0.1970	1762	1000	1.0580
L14	2033	2033	2	0.0390	2033	2	0.0255	1952	1000	0.9114
L15	2240	2240	6	0.4886	2240	9	0.2157	2351	1000	0.9677
L16	2650	2650	3	0.0948	2650	7	0.1540	2509	1000	0.9923
L17	917	917	1	1.1714	917	1	0.0216	917	1000	1.0322

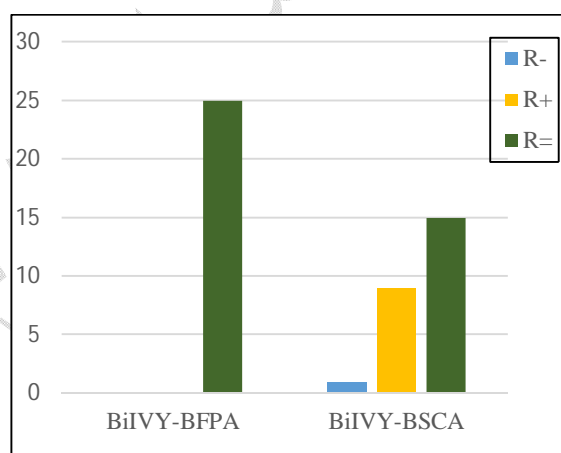
L18	2817	2817	13	0.0164	2817	12	0.4788	2610	1000	1.1850
L19	3223	3220	1000	77.5584	3223	31	0.8470	3059	1000	1.1141
L20	3614	3614	15	0.0851	3614	15	0.4734	3370	1000	1.1443
L21	3924400	3924400	1	0.0018	3924400	1	0.0007	3924400	3	0.0017
L22	6473019	6473019	1	0.0419	6473019	1	0.0169	6473019	21	0.0168
L23	5170626	5170626	1	0.0132	5170626	2	0.0426	5170626	3	0.0034
L24	6941564	6941564	1	0.0287	6941564	1	0.0153	6941564	32	0.0245
L25	5337472	5337472	1	0.0165	5337472	1	0.0195	5337472	40	0.0310

بیشتر از  $R^-$  است که بیانگر برتری BiIVY در کسب سود کل نهایی نسبت به BSCA می‌باشد.

جدول 5: رتبه‌های کلی BiIVY و بقیه در سود کل حاصل شده در تمام موارد کوله پستی صفر-یک

		BiIVY	BFPA	BSCA
Friedman Test	Mean Rank	2.16	2.16	1.68
	Rank	1	1	2

جدول 6 نتایج کلی رتبه‌بندی فریدمن را در زمینه تعداد تکرار لازم برای حل تمام مسائل ارائه می‌دهد. همانطور که مشاهده می‌شود، BiIVY دارای کمترین تعداد تکرار لازم است (رتبه 1 را کسب کرده است). همچنین شکل 7 نتایج آزمون ویلکاکسون را برای مقایسه زوجی الگوریتم BiIVY با دو الگوریتم BFPA و BSCA نمایش می‌دهد. همان‌طور که مشخص است، در همه مقایسه‌های زوجی، مقدار  $R^-$  بیشتر از  $R^+$  است که بیانگر برتری BiIVY در کمترین تعداد تکرار لازم برای حل تمام مسائل نسبت به بقیه الگوریتم‌ها می‌باشد.



شکل 6: نتایج آزمون رتبه علامت‌دار ویلکاکسون برای مقایسه BiIVY و سایر الگوریتم‌ها در سود کل به دست آمده در تمام موارد مسائل کوله‌پستی

صفر-یک

در آزمون فریدمن که برای مقایسه عملکرد سه الگوریتم BiIVY، BFPA و BSCA به کار گرفته شد، تعداد مشاهدات برابر با 25 (مربوط به 25 مجموعه داده استاندارد L1-L25) و درجه آزادی برابر با  $df=k-1$  و چون  $k$  برابر است با 3 پس مقدار درجه آزادی برابر 2 است. نتایج آزمون میانگین رتبه‌ها نشان می‌دهد که تفاوت عملکرد الگوریتم‌ها از نظر کل سود و تعداد تکرار معنادار است.

جدول 5 نتایج کلی این رتبه‌بندی را در زمینه سود نهایی حاصل از حل تمام مسائل ارائه می‌دهد. همانطور که مشاهده می‌شود، BiIVY به همراه BFPA در کسب سود کل حاصل شده، رتبه اول را به خود اختصاص داده است.

برای انجام مقایسه دقیق‌تر میان نتایج، از آزمون ناپارامتریک ویلکاکسون [35] با رتبه‌های علامت‌دار استفاده شده است. این آزمون به منظور بررسی تفاوت عملکرد میان دو نمونه وابسته به کار می‌رود و مشخص می‌کند که یک الگوریتم در چند مورد عملکرد بهتری، ضعیف‌تری یا مشابه با الگوریتم دیگر داشته است. خروجی این آزمون شامل سه آماره  $R^-$ ،  $R^+$  و  $R=$  است که به ترتیب نمایانگر تعداد مواردی هستند که الگوریتم اول بهتر، بدتر یا مشابه با الگوریتم دوم عمل کرده است. شکل 6 نتایج این آزمون را برای مقایسه زوجی الگوریتم BiIVY با دو الگوریتم BFPA و BSCA نمایش می‌دهد. همان‌طور که مشخص است، در مقایسه BiIVY با BFPA، مقادیر  $R^+$  و  $R^-$  برابرند که نشان‌دهنده عملکرد مشابه این دو الگوریتم در زمینه کسب سود نهایی است. در مقابل، در مقایسه BiIVY با BSCA، مقدار  $R^+$

جدول 6: رتبه کلی BiIVY و بقیه در تعداد تکرارها در تمام نمونه‌های

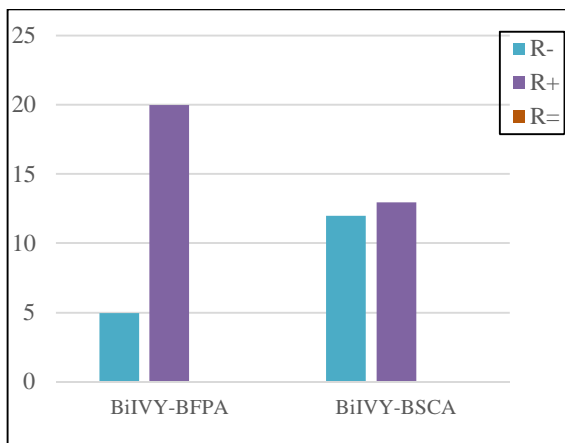
مسائل کوله پشتی صفر-یک

		BiIVY	BFPA	BSCA
Friedman Test	Mean Rank	1.58	1.70	2.72
	Rank	1	2	3

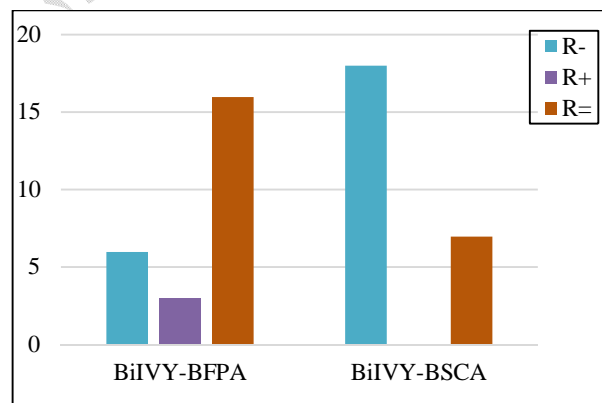
جدول 7 نتایج کلی رتبه‌بندی فریدمن را در زمینه مدت زمان

صرف‌شده برای حل تمام مسائل ارائه می‌دهد. همانطور که مشاهده می‌شود، BiIVY به زمان زیادی برای حل مسائل نیاز دارد (رتبه 3 را کسب کرده است). همچنین شکل 8 نتایج آزمون ویلکاکسون را برای مقایسه زوجی الگوریتم BiIVY با دو الگوریتم BFPA و BSCA نمایش می‌دهد. همان‌طور که مشخص است، در همه مقایسه‌های زوجی، مقدار  $R^+$  بیشتر از  $R^-$  است که بیانگر ضعف BiIVY در مدت زمان لازم برای حل تمام مسائل نسبت به بقیه الگوریتم‌ها می‌باشد.

در این مقاله، یک نسخه‌ی باینری و توسعه‌یافته از الگوریتم الهام‌گرفته از پیچک، که با نام BiIVY شناخته می‌شود، برای حل مسأله‌ی مشهور و چالش‌برانگیز کوله‌پشتی صفر و یک طراحی و پیاده‌سازی گردید. این مسأله به دلیل تعلق داشتن به دسته‌ی مسائل NP-Hard، همواره مورد توجه بسیاری از پژوهشگران و متخصصان حوزه‌ی بهینه‌سازی و هوش مصنوعی قرار گرفته است. هدف اصلی و محوری از ارائه و توسعه‌ی این الگوریتم، بهره‌گیری از قابلیت‌های جستجوی تصادفی، همگرایی سریع و توانایی کاوش دقیق الگوریتم پیچک در فضاها‌ی جستجوی گسسته و باینری بود؛ تا از این طریق کیفیت و کارایی نتایج حاصل از حل چنین مسائلی د شواری به‌طور چشم‌گیری بهبود یابد.



شکل 8: نتایج آزمون رتبه علامت‌دار ویلکاکسون برای مقایسه BiIVY و سایر موارد در زمان سپری شده در تمام موارد مسأله کوله پشتی صفر-یک



شکل 7: نتایج آزمون رتبه علامت‌دار ویلکاکسون برای مقایسه BiIVY و سایر الگوریتم‌ها از نظر تعداد تکرارها در تمام نمونه‌های مسائل کوله پشتی صفر-یک

به‌منظور ارزیابی جامع کارایی و عملکرد الگوریتم BiIVY، یک مجموعه‌ی متنوع و استاندارد شامل 25 تابع مرجع مرتبط با مسائل کوله‌پشتی در مقیاس‌ها و سطوح مختلف دشواری انتخاب و استفاده گردید. نتایج حاصل از اجرای این الگوریتم با دو الگوریتم شناخته شده و مطرح دیگر در این حوزه، یعنی BFPA و BSCA، مقایسه شد تا بتوان توان نسبی الگوریتم پیشنهادی را در شرایط برابر و یک‌سان مورد تحلیل قرار داد. برای بررسی و

جدول 7: رتبه‌های کلی BiIVY و بقیه در زمان سپری شده در تمام موارد

مسائل کوله پشتی صفر-یک

		BiIVY	BFPA	BSCA
Friedman Test	Mean Rank	2.32	1.56	2.12
	Rank	3	1	2

## 5. نتیجه‌گیری و کارهای آینده

- 13, no. 2, pp. 56-77, 2025, doi: 10.22052/scj.2024.253070.1154. [In Persian]
- [۳] H. Shafiei, V. Rafe, and M. Amiri, "Optimization of vehicle routing based on a combination of ant colony and particle swarm algorithms with the heuristic function of the cosine of angles," *Soft Computing*, vol. 12, no. 2, pp. 146-164, 2024, doi: 10.22052/scj.2023.248702.1118. [In Persian]
- [۴] Q. Tu, X. Chen, and X. Liu, "Multi-strategy ensemble grey wolf optimizer and its application to feature selection," *Applied Soft Computing*, vol. 76, pp. 16-30, 2019, doi: 10.1016/j.asoc.2018.11.047.
- [۵] M. Dorigo, V. Maniezzo, and A. Coloni, "Ant system: optimization by a colony of cooperating agents," *IEEE transactions on systems, man, and cybernetics, part b (cybernetics)*, vol. 26, no. 1, pp. 29-41, 1996, doi: 10.1109/3477.484436.
- [۶] J. H. Holland, "Genetic algorithms," *Scientific american*, vol. 267, no. 1, pp. 66-73, 1992.
- [۷] E. Rashedi, H. Nezamabadi-Pour, and S. Saryazdi, "GSA: a gravitational search algorithm," *Information sciences*, vol. 179, no. 13, pp. 2232-2248, 2009, doi: 10.1016/j.ins.2009.03.004.
- [۸] Y. Jiang, Q. Wu, S. Zhu, and L. Zhang, "Orca predation algorithm: A novel bio-inspired algorithm for global optimization problems," *Expert Systems with Applications*, vol. 188, p. 116026, 2022, doi: 10.1016/j.eswa.2021.116026.
- [۹] S. M. Lim, A. B. M. Sultan, M. N. Sulaiman, A. Mustapha, and K. Y. Leong, "Crossover and mutation operators of genetic algorithms," *International journal of machine learning and computing*, vol. 7, no. 1, pp. 9-12, 2017.
- [۱۰] M. Ghasemi, M. Zare, P. Trojovský, R. V. Rao, E. Trojovská, and V. Kandasamy, "Optimization based on the smart behavior of plants with its engineering applications: Ivy algorithm," *Knowledge-Based Systems*, vol. 295, p. 111850, 2024, doi: /10.1016/j.knosys.2024.111850.
- [۱۱] M. Abdel-Basset, D. El-Shahat, and I. El-Henawy, "Solving 0-1 knapsack problem by binary flower pollination algorithm," *Neural Computing and Applications*, vol. 31, no. 9, pp. 5477-5495, 2019, doi: 10.1007/s00521-018-3375-7.
- [۱۲] M. Abdel-Basset, R. Mohamed, R. K. Chakraborty, M. Ryan, and S. Mirjalili, "New binary marine predators optimization algorithms for 0-1 knapsack problems," *Computers & Industrial Engineering*, 2021, doi: 10.1016/j.cie.2020.106949.
- [۱۳] E. Baş, "Binary aquila optimizer for 0-1 knapsack problems," *Engineering Applications of Artificial Intelligence*, vol. 118, p. 105592, 2023, doi: 10.1016/j.engappai.2022.105592.

تحلیل کامل نتایج به دست آمده، سه معیار کلیدی شامل مجموع کل سود کسب شده، تعداد تکرار لازم برای رسیدن به پاسخ مناسب، و زمان کل اجرای الگوریتمها در نظر گرفته شد؛ چرا که این شاخصها می توانند تصویری واقعی از عملکرد الگوریتم در جنبه های مختلف ارائه دهند. افزون بر این، جهت بررسی اعتبار آماری نتایج و اطمینان از معنی داری تفاوت عملکردها، از آزمون ناپارامتریک فریدمن که یکی از روش های معتبر در مقایسه ی چند الگوریتم به طور هم زمان محسوب می شود، بهره گرفته شد.

با توجه به کارایی مناسب الگوریتم BiIVY در حل مسائل کوله پشته ی در مقیاس کوچک و متوسط، پیشنهاد می شود نسخه های بهینه سازی شده و کارآمدتری از این الگوریتم برای حل مسائل بزرگ مقیاس طراحی و توسعه یابد. این بهبود می تواند در مواجهه با مسائل گسسته پیچیده تر همچون مسائل زمان بندی، تخصیص منابع و مسیریابی که از لحاظ ساختار به مسائل کوله پشته ی شابهت دارند، نیز مورد ارزیابی قرار گیرد.

از آنجایی که مسأله کوله پشته ی صفر و یک به عنوان یک مدل ریاضی در بسیاری از کاربردهای عملی و صنعتی از جمله بهینه سازی سبد سرمایه گذاری، انتخاب پروژه ها، طراحی شبکه های ارتباطی و مدیریت منابع به کار گرفته می شود، پیشنهاد می شود الگوریتم BiIVY در این حوزه های کاربردی مورد استفاده و ارزیابی قرار گیرد. انجام این تحلیلها می تواند ارزش عملی الگوریتم را در حل مسائل واقعی با محدودیت ها و پیچیدگی های صنعتی اثبات نماید.

## مراجع

- [۱] A. Hamdipour and A. Basiri, "Memory-based ARO metaheuristic algorithm for feature selection problems," *Soft Computing*, pp. -, 2025, doi: 10.22052/scj.2026.257072.1309. [In Persian]
- [۲] M. Ghaffar Alishahi, A. A. Pira, and A. Roohi, "Development of an Evolutionary Algorithm for City Councils to Solve Multi-Objective Optimization Problems," *Soft Computing*, vol.

- crossover operator," *Operational Research*, vol. 18, no. 3, pp. 731-755, 2018, doi: 10.1007/s12351-016-0251-z.
- [۲۸] Y. Feng, J. Yang, C. Wu, M. Lu, and X.-J. Zhao, "Solving 0–1 knapsack problems by chaotic monarch butterfly optimization algorithm with Gaussian mutation," *Memetic Computing*, vol. 10, no. 2, pp. 135-150, 2018, 10.1007/s12293-016-0211-4.
- [۲۹] Y. Feng, G.-G. Wang, S. Deb, M. Lu, and X.-J. Zhao, "Solving 0–1 knapsack problem by a novel binary monarch butterfly optimization," *Neural computing and applications*, vol. 28, no. 7, pp. 1619-1634, 2017, doi: 10.1007/s00521-015-2135-1.
- [۳۰] X. Lai, J.-K. Hao, Z.-H. Fu, and D. Yue, "Diversity-preserving quantum particle swarm optimization for the multidimensional knapsack problem," *Expert Systems with Applications*, vol. 149, p. 113310, 2020, 10.1016/j.eswa.2020.113310.
- [۳۱] C. Changdar, G. Mahapatra, and R. K. Pal, "An ant colony optimization approach for binary knapsack problem under fuzziness", *Applied Mathematics and Computation*, vol. 223, pp. 243-253, 2013, doi: 10.1016/j.amc.2013.07.077.
- [۳۲] L. Abualigah, D. Youstri, M. Abd Elaziz, A. A. Ewees, M. A. Al-Qaness, and A. H. Gandomi, "Aquila optimizer: a novel meta-heuristic optimization algorithm," *Computers & Industrial Engineering*, vol. 157, p. 107250, 2021, doi: 10.1016/j.cie.2021.107250.
- [۳۳] K. Mahfouz, S. Ali, M. A. Al-Betar, and M. A. Awadallah, "Solving 0–1 knapsack problems using sine-cosine algorithm," in *2021 Palestinian international conference on information and communication technology (PICICT)*, 2021: IEEE, pp. 45-51, doi: 10.1109/PICICT53635.2021.00020.
- [۳۴] M. Friedman, "A comparison of alternative tests of significance for the problem of m rankings," *The annals of mathematical statistics*, vol. 11, no. 1, pp. 86-92, 1940.
- [۳۵] F. Wilcoxon, "Individual comparisons by ranking methods," in *Breakthroughs in statistics*: Springer, 1992, pp. 196-202.
- [۱۴] M. Gendreau and J.-Y. Potvin, *Handbook of metaheuristics*. Springer, 2010, 10.1007/978-1-4419-1665-5.
- [۱۵] H. Kellerer, U. Pferschy, D. Pisinger, H. Kellerer, U. Pferschy, and D. Pisinger, *Multidimensional knapsack problems*. Springer, 2004, doi: 10.1007/978-3-540-24777-7\_9.
- [۱۶] M. Gupta, "A fast and efficient genetic algorithm to solve 0–1 knapsack problem," *Int J Digit Appl Contemp Res*, vol. 1, no. 6, pp. 1-5, 2013.
- [۱۷] R. Eberhart and J. Kennedy, "A new optimizer using particle swarm theory," in *MHS'95. Proceedings of the sixth international symposium on micro machine and human science*, 1995: Ieee, pp. 39-43, doi: 10.1109/MHS.1995.494215.
- [۱۸] J. Kennedy and R. C. Eberhart, "A discrete binary version of the particle swarm algorithm," in *1997 IEEE International conference on systems, man, and cybernetics. Computational cybernetics and simulation*, 1997, vol. 5: ieee, pp. 4104-4108, doi: 10.1109/ICSMC.1997.637339.
- [۱۹] J. C. Bansal and K. Deep, "A modified binary particle swarm optimization for knapsack problems," *Applied Mathematics and Computation*, vol. 218, no. 22, pp. 11042-11061, 2012, 10.1016/j.amc.2012.05.001.
- [۲۰] P. H. Nguyen, D. Wang, and T. K. Truong, "A new hybrid particle swarm optimization and greedy for 0-1 knapsack problem", *Indones J Electr Eng Comput Sci*, vol. 1, no. 3, pp. 411-418, 2016.
- [۲۱] X.-S. Yang, "Firefly algorithms for multimodal optimization," in *International symposium on stochastic algorithms*, 2009: Springer, pp. 169-178, doi: 10.1007/978-3-642-04944-6\_14.
- [۲۲] D. Zouache, F. Nouioua, and A. Moussaoui, "Quantum-inspired firefly algorithm with particle swarm optimization for discrete optimization problems," *Soft Computing*, vol. 20, no. 7, pp. 2781-2799, 2016, 10.1007/s00500-015-1681-x.
- [۲۳] Y. Feng and G.-G. Wang, "An improved hybrid encoding firefly algorithm for randomized time-varying knapsack problems," in *2015 Second International Conference on Soft Computing and Machine Intelligence (ISCMI)*, 2015: IEEE, pp. 9-14, doi: 10.1109/ISCMI.2015.24.
- [۲۴] R. Zhao and W. Tang, "Monkey algorithm for global numerical optimization," *Journal of Uncertain Systems*, vol. 2, no. 3, pp. 165-176, 2008.
- [۲۵] Y. Zhou, X. Chen, and G. Zhou, "An improved monkey algorithm for a 0-1 knapsack problem," *Applied Soft Computing*, vol. 38, pp. 817-830, 2016, 10.1016/j.asoc.2015.10.043.
- [۲۶] G.-G. Wang, S. Deb, and Z. Cui, "Monarch butterfly optimization," *Neural computing and applications*, vol. 31, no. 7, pp. 1995-2014, 2019, 10.1007/s00521-015-1923-y.
- [۲۷] G.-G. Wang, S. Deb, X. Zhao, and Z. Cui, "A new monarch butterfly optimization with an improved